

京都大学工学部 正員 住友 恒
 同上 学生員 宇治 貞宏
 同上 学生員 ○平井 雄二

1) はじめに

フロックの成長過程については、従来からさまざまな研究がなされている。しかし、これらは主にフロック成長の初期段階におけるものであり、フロックが成長して流体からうける剪断力による破壊が無視できなくな、た場合でのフロックの挙動を明らかにしていく必要がある。フロックの破壊については、表面浸食およびフロックの分裂とい、2つの現象を考えられる。本報では特にフロックの分裂による破壊に限定し、実験1で活性汚泥フロックについての破壊度数の変化、実験2でアレミフロックにおける粒度分布に注目して破壊過程に関する若干の考察を述べてみる。

2) 理論式

粒度数の時間的変化を表わす式として次式をとる。

$$\frac{dn(u,t)}{dt} = \frac{1}{2} \int_0^\infty P_a(u',u-t) n(u',t) n(u-u',t) du' - n(u,t) \int_0^\infty P_b(u,u') n(u',t) du' \\ - \frac{1}{2} \int_0^\infty P_{b_1}(u) P_{b_2}(u,u') n(u,t) du' + \int_0^\infty P_{b_1}(u') P_{b_2}(u',u) n(u',t) du' \quad (1)$$

ここで、 $n(u,t)$ は時刻 t における体積 u のフロック数、 $P_a(u, u')$ は最大速度定数 [cm³/sec]、 $P_{b_1}(u)$ は u のフロックの破壊確率 [$1/\text{sec}$]、 $P_{b_2}(u, u')$ は u' のフロックが u のフロックに分裂する確率である。

3) 実験装置および方法

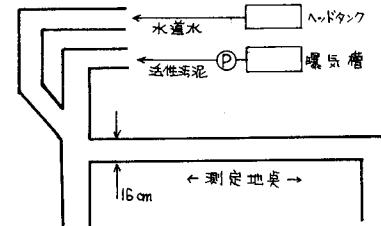
3-1. 実験1 図1に示すように水道水と曝気槽からポンプアップした活性汚泥とを適量水路に通すと成長フロックが水路を流下する。水路に上下・水平迂流式に設置したじゃま板による乱れにより、フロックの破壊が進行する。小型プロペラ式流速計により流速を計ることとともに、フロック数・粒径の変化を近接撮影により求めた。

3-2. 実験2 装置概略図を図2に示す。Aの水槽に水道水(40l/min)、濾過として桂川上流から採取した土砂(48ppm)、硫酸ナトリウム(65ppm)、アルギン酸ソーダ(1ppm)、アルカリ剤としてNaOHを投入して急速攪拌を行し、Bの部分でフロック圧成せ、ほぼ完結する(Bの部分のパドル回転比は上流側より(1:0.34:0.11)である。)Cのパドル回転数を適宜変えてフロック破壊を行い、粒度分布を近接撮影により求める。

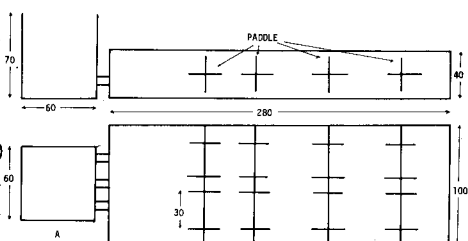
4) 実験結果および考察

4-1. 実験1 実験1での破壊過程のみ起こっている場合では、 u より大きい粒子の粒度数 N_F の時間的変化(式)でえられる。(1)式で破壊現象のみ起こっている場合では、 (u) より大きい粒子の粒度数 N_F の時間的変化(式)でえられる。

$$\frac{dN_F}{dt} = \int_{u_F}^\infty P_b(u) n(u,t) du - \int_{u_F}^u \left[\int_0^\infty P_{b_1}(u') P_{b_2}(u',u) n(u',t) du' - 2P_b(u) n(u,t) \right] du \quad (2)$$



(図-1) 実験装置(実験1)



(図-2) 実験装置(実験2) 単位cm

対象とするフロックが大きい場合、分裂によって数ヶフロックの生じる確率 $P_{b_2}(v, \eta)$ ($0 \leq v \leq J_F$) が $P_b(v, \eta)$ ($J_F \leq v$) に比べて小さいと考え、上式の第2項を無視すると次式が得られる。

$$\frac{dn}{dt} = \int_0^{\infty} P_b(v) n(v, t) dv \doteq \overline{P_b(v)} N_F \quad (3)$$

近接撮影でフロックと認められるもの（径が $0.2 \sim 2.0 \text{ mm}$ の個数）を調べ、その液化の割合と乱れ強度に関して示したのが図-3である。破壊強度 $\overline{P_b(v)}$ は単位時間当たりにフロックが破壊抵抗力以上の剪断力を受ける強度であるから（破壊成功率 1 とした場合）攪拌強度の幾何学的平均値であると考えられる。これは乱れ強度と関連しているので図-3の結果は妥当であるといえる。

4-2. 実験2 図-2でのこの部分の搅拌強度を求めて、従々の攪拌強度のもとでの粒度分布を求めた例を図-4に示す。ただし、近接撮影から求めたので粒径約 0.1 mm 以下のフロックは無視している。この図から粒度分布は対数正規分布といえるようである。実験1においては、マクロ付因地に立ち $P_b(v)$ は $G(v)$ の幾何平均と考えたが、フロック強度（破壊抵抗力）はフロック体積 v に依存するので、 $P_b = P_{b_1} \cdot P_{b_2} = K G^m v^m$ と考えてみる。（ここで、 $P_{b_1}(v, \eta)$ は v に依存して一定と考えている）。この式を(1)式に代入すれば破壊過程を考慮した場合の粒度分布が得られるが、(1)式は非線型方程式であるので解析困難である。そこで次のよう仮定することにより常微分方程式に変形する。

$$n(v, t) = G(t) \cdot \psi(v), \quad \psi = N v / \phi \quad (4)$$

ここで、 N は全粒子数濃度、 ϕ は粒子体積濃度である。これより(1)式を変形し、破壊の卓越している場を考えると粒度分布に関して次式を得る。

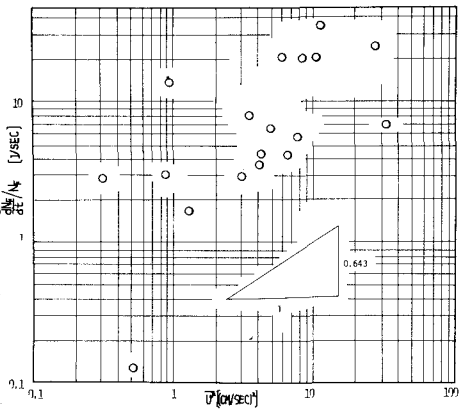
$$4 \mu_{m+1}^* \psi(m) + 2 \mu_{m+1}^* \eta \frac{d\psi}{dv} + \eta^{m+1} \psi = 0 \quad \text{すなわち} \quad \ln \psi(v) = -2 \ln \eta - \frac{1}{2 \mu_{m+1}^* m+1} \eta^{m+1} + C \quad (5)$$

ここで $\mu_{m+1}^* = \int_0^\infty \eta^{m+1} \psi(v) dv$ 、 C は定数である。実験から得られた粒度分布と(5)式とを比較することにより、 m の値を求めると $m = 1.8 \sim 3.0$ である。

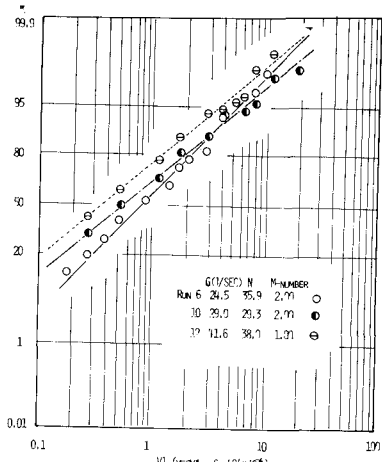
5) おわりに

フロック破壊に関する研究としては、Kaufmanの表面浸食モデルによるものがあるが、大まかにフロックを対象とする場合本報で述べたようにフロック分裂による粒子数增加も考慮する必要があると思われる。本報での破壊確率 $P_b = K G^m v^m$ における K, m の値を推定するまでは至らなかった。今回得た m の値をもとに(1)式を数値計算し今回の実験との比較をする必要がある。また実験1では P_b を乱れ強さ $\overline{W^2}$ で示したところ、今後はエネルギー逸散率を用いて ϵ/ω に関するデータを得る必要がある。これらについての後的研究課題としていたい。

- 〈参考文献〉 (1) 丹保憲仁他 フロック強度に関する研究 水道協会雑誌第427号 昭45.4
 (2) 平井唯一 京都大学卒業論文 (1977)



(図-3) 乱れ強度と破壊強度との関係



(図-4) 粒度分布の例